

Please Direct All Correspondence to Customer Number **20995**

SUBMISSION OF PRIORITY DOCUMENTS

Applicant : Hans Schmotzer et al.
 App. No : 10/616,102
 Filed : July 9, 2003
 For : FEMORAL SLIDEWAY
 Examiner : B. Pellegrino
 Art Unit : 3738

CERTIFICATE OF MAILING

I hereby certify that this correspondence and all marked attachments are being deposited with the United States Postal Service as first-class mail in an envelope addressed to: Commissioner for Patents, P.O. Box 1450, Alexandria, VA 22313-1450, on

8/3/05

(Date)

Josué A. Villalta, Reg. No. 54,511

Commissioner for Patents
 P.O. Box 1450
 Alexandria, VA 22313-1450

Dear Sir:

Enclosed for filing in the above-identified application, please find certified copies of priority application DE 299 03 766.5.

Please charge any fees or credit overpayment to Deposit Account No. 11-1410.

Respectfully submitted,

KNOBBE, MARTENS, OLSON & BEAR, LLP

Dated: _____

8/3/05

By: _____

Josué A. Villalta
 Registration No. 54,511
 Attorney of Record
 Customer No. 20,995
 (951) 781-9231

BUNDESREPUBLIK DEUTSCHLAND**Prioritätsbescheinigung über die Einreichung
einer Gebrauchsmusteranmeldung**

Aktenzeichen: 299 06 909.5

Anmeldetag: 16. April 1999

Anmelder/Inhaber: PLUS Endoprothetik AG, Rotkreuz/CH

Bezeichnung: Femurschlitten

Priorität: 2.3.1999 DE 299 03 766.5

IPC: A 61 F 2/38

Die angehefteten Stücke sind eine richtige und genaue Wiedergabe der ursprünglichen Unterlagen dieser Gebrauchsmusteranmeldung.

München, den 29. Juni 2005
Deutsches Patent- und Markenamt
Der Präsident
Im Auftrag

**CERTIFIED COPY OF
PRIORITY DOCUMENT**

MEISSNER, BOLTE & PARTNER

Anwaltssozietät GbR

Postfach 860624

81633 München

Anmelderin

PLUS Endoprothetik AG

Erlenstraße 4 b

CH-6343 Rotkreuz

2. März 1999

M/PLU-102-DE

MB/PO/HZ/ir

Femurschlitten

B e s c h r e i b u n g

Die Erfindung betrifft einen Femurschlitten nach dem Oberbegriff des Anspruchs 1 sowie eine Femurschlitten-/ Femurgrößenlehren-Anordnung und ein Knie-Endoprothesensystem mit einem solchen Femurschlitten.

Ein derartiger Femurschlitten ist etwa aus der DE 40 41 002 C2 bekannt. Bei der zum Kniegelenkersatz mittels eines solchen Femurschlittens üblichen Operationstechnik wird von beiden Kondylen des Femurs gleich viel Knochen entfernt, so daß der anteriore bzw. ventrale Schnitt parallel zum posterioren bzw. dorsalen Schnitt ist. Bei der hierdurch definierten Position des Implantats stimmt die Implantat-Rotationsachse nicht mehr mit der durch die Lage der Seitenbänder vorgegebenen Achse überein, und die Position ist insofern nicht anatomisch, als das Implantat in der Beugung entweder auf der medialen Seite zu eng oder auf der lateralen Seite zu lose sitzt.

Die daraufhin vor einiger Zeit empfohlene Außenrotation der Schnittlehre, wobei im posterioren Bereich lateral weniger Knochen als medial, jedoch anterior-lateral mehr Knochen als auf der anterior-medialen Seiten reseziert wird, hat ebenfalls Nachteile, die durch die in DE 197 16 879 A1 der Anmelderin vorgeschlagene Ausbildung des Femurschlittens beseitigt werden

- 2 -

sollen. Der Kern dieser Lösung liegt darin, den anterioren bzw. ventralen Schnitt in der Transversalebene zu rotieren.

5 Auch bei dieser neueren Lösung besteht jedoch noch Verbesserungsbedarf hinsichtlich der Optimierung der Gelenkfunktion im Zusammenwirken insbesondere mit den Seitenbändern, speziell zur Verringerung der Beanspruchung der letzteren.

10 Der Erfindung liegt daher die Aufgabe zugrunde, einen funktionell weiter verbesserten Femurschlitten sowie ein rationell zu fertigendes und einzusetzendes Knie-Endoprothesensystem mit einem solchen Femurschlitten als Kernstück und letztlich eine zweckmäßige Anordnung aus Femurschlitten und Femurgrößenlehre anzugeben.

15 Diese Aufgabe wird in ihrem ersten, tragenden Aspekt durch einen Femurschlitten mit den Merkmalen des Anspruchs 1 gelöst.

20 Die Erfindung schließt den wesentlichen Gedanken ein, daß es vorteilhaft ist, bei einem Kniegelenkersatz auf der Femurseite dorsal mehr Knochen zu resezieren als durch das Implantat (den Femurschlitten) wieder aufgebaut wird. Die dadurch bewirkte „Verkleinerung“ des Femurschlittens im dorsalen Bereich gegenüber der ursprünglichen Dimension der (resezierten) Kondylen
25 bzw. einem auf herkömmliche Weise angepaßten Femurschlitten führt zu einer effektiven Verringerung des Drehradius der zum Prothesensystem gehörenden Tibiaplatte und damit zu einer Entlastung der Seitenbänder.

30 Die zwischen den äußersten, dorsal-ventral gegenüberliegenden Punkten der Kondylenschalenflächen gemessene Verringerung der Abmessungen des Femurschlittens gegenüber der bisher üblichen Dimensionierung liegt bevorzugt im Bereich zwischen 2 und 5 %.

Dies wird durch eine solche Ausbildung der entsprechenden Femurschlitten-/Femurgrößenlehren-Anordnung erreicht, daß der Abstand der Zapfen am Femurschlitten zu dessen dorsalen Gleitflächen um 5 - 15 %, insbesondere um etwa 10 %, größer als der korrespondierende Abstand der Bohrungen für die Positionierung der Zapfen bei der Femurgrößenlehre zur Anlagefläche für die dorsalen Kondylenflächen des Femurs ist.

Der Abstand zwischen den dorsalen Gleitflächen und den Zapfen auf der Innenseite des Femurschlittens hat bevorzugt einen Wert im Bereich zwischen 24 und 34 mm und liegt insbesondere bei 29 mm, wobei der gewählte Betrag in einem Knie-Endoprothesensystem zur Abdeckung eines relevanten Gelenkgrößenbereiches zweckmäßigerweise konstant ist.

Der vorgeschlagene Femurschlitten zeichnet sich im übrigen dadurch aus, daß bestimmte Abmessungen zueinander in einem weitgehend konstanten Verhältnis stehen - unabhängig von der konkreten Prothesengröße. So beträgt das Verhältnis a:c zwischen der maximalen dorsal-ventralen Erstreckung und der maximalen lateralen Erstreckung des Femurschlittens etwa $0,9 \pm 0,02$. Die zwischen den Kondylenschalen ausgebildete Patellagrube hat, bezogen auf den am weitesten dorsal gelegenen Punkt der Kondylenschalen, bevorzugt eine Tiefe b, deren Verhältnis b:a zur maximalen dorsal-ventralen Erstreckung des Femurschlittens im Bereich zwischen 0,4 und 0,5, insbesondere bei 0,44, liegt.

Die Patellagrube ist somit nach dorsal verlängert, wodurch die Patella im gesamten funktionellen Beugebereich großflächig abgestützt werden kann.

Diese Verlängerung der Patellagrube, die im übrigen bei allen Implantatgrößen anatomisch wächst, trägt der Tatsache Rechnung, daß die patello-femorale Kontaktfläche bei herkömmlichen Femur-

schlitten eine relativ geringe Abstützfläche hat. In dem Bereich, in dem die Patella die Trochlea verläßt und in die fassa interkondylaris eintritt, ist nämlich bei herkömmlichen Femurkomponenten eine Abstützung nur noch im Randbereich gegeben.

5

Weiterhin sind bei dem vorgeschlagenen Femurschlitten die Kondylenschalen im Querschnitt (Coronalschnitt) etwas stärker ver-rundet als bei herkömmlichen Femurschlitten. Diese Modifikation wurde im Interesse einer verbesserten Paßfähigkeit mit dem zu einem Knie-Endoprothesensystem gehörenden speziellen Tibia-Insert vorgenommen, der aber nicht in den Rahmen der Erfindung fällt.

10

15

20

Die Rückfläche des Femurschlittens trägt in einer vorteilhaften Ausführung eine in einem Vakuumplasmaverfahren erzeugte zwei-stufige Ti-Schicht aus einer relativ dünnen, dichten Grund-schicht und einer um ein Mehrfaches dickeren, offen-porösen Deckschicht. Die dichte Grundschicht ermöglicht eine vollstän-dige Versiegelung des beispielsweise aus CoCrMo bestehenden Fe-murschlittens zum Knochen hin und erhöht aufgrund des großflä-chigen Kontaktes mit dem Substrat die Haftfestigkeit.

25

Die offen-poröse und sehr rauhe Oberfläche der Deckschicht bie-tet ideale Bedingungen für das An- und Einwachsen von Knochen-substanz, woraus sich quasi eine „3-D-Verzahnung“ ergibt, die neben Druck- und Schubkräften auch Zugkräfte übertragen kann.

30

Weitere Vorteile und Zweckmäßigkeiten der Erfindung sind in den Unteransprüchen bzw. der nachfolgenden Beschreibung eines be-vorzugten Ausführungsbeispiels anhand der Figuren zu entnehmen. Von diesen zeigen:

- Fig. 1 eine Ansicht (von proxima) auf einen Femurschlitten gemäß einer Ausführungsform der Erfindung,
- Fig. 2 den Femurschlitten gemäß Fig. 1 in einer medialen Schnittdarstellung (Sagittalschnitt),
- Fig. 3 eine Draufsicht auf eine Ausführungsform einer Femurgrößenlehre,
- Fig. 4 eine Seitenansicht derselben,
- Fig. 5a, 5b eine Gegenüberstellung einer herkömmlichen mit einer hier zur Ausführung vorgeschlagenen Anordnung eines Femurschlittens an einem Femur und
- Fig. 6a, 6b rasterelektronenmikroskopische Querschnittsdarstellungen eines herkömmlichen Schichtaufbaus bzw. einer Ausführungsform des hier vorgeschlagenen Schichtaufbaus der Rückflächenbeschichtung eines Femurschlittens.

In Fig. 1 und 2 ist die üblicherweise als Femurschlitten bezeichnete Femurkomponente 10 einer Knie-Endoprothese dargestellt. Der Femurschlitten 10 umfaßt zwei konvex gewölbte Kondylenschalen 11, 12 und ein Patellaschild 13, welches die beiden Kondylenschalen 11, 12 starr miteinander verbindet.

Die Kondylenschalen 11, 12 und das Patellaschild 13 definieren innenseitig anteriore und posteriore Paßflächen 14, 15, die einem femuralen Ventral- bzw. Dorsalschnitt entsprechen und einer ventralen und dorsalen Sägeschnittfläche am distalen Ende des für die Anpassung des Femurschlittens bearbeiteten Femurs zugeordnet sind. Die konvexe Außengestaltung der Kondylenschalen 11, 12 bestimmt im posterioren Bereich dorsale Gleitflächen 11a, 12a, auf denen bei einer Beugung der Knie-Endoprothese die korrespondierenden Flächen des Tibia-Inserts gleiten. Das gegenüber den konvexen Außenflächen der Kondylenschalen 11, 12

zurückspringende Patellaschild 13 definiert eine sogenannte Patellagrube 16, in der eine - in Fig. 2 gestrichelt angedeutete, nicht zum Femurschlitten 10 gehörende - Patellakomponente 17 der Knie-Endoprothese abgestützt ist.

5

Zur Verankerung und zentralen Führung des Femurschlittens 10 am Femur sind auf der Innenseite des Femurschlittens zwei Zapfen 18, 19 ausgebildet, deren Längsachse im wesentlichen parallel zur posterioren Paßfläche 15 ausgerichtet ist. Diese Zapfen greifen in mit Hilfe einer entsprechenden Bohrlehre (siehe dazu weiter unten) korrespondierend positionierte Bohrlöcher im Femur ein und geben dem Femurschlitten, neben den Paßflächen, zusätzlich Halt am Knochen.

10

15

Die Sicherstellung einer funktionell optimierten Ersatzfunktion für zerstörte Gleitflächen am Femur durch den Femurschlitten erfordert einerseits eine möglichst genaue Konstruktion der anatomischen Verhältnisse und Abmessungen, schließt aber im Rahmen der Erfindung auch eine spezifische Modifikation ein, wie nachfolgend erläutert wird.

20

Eine der relevanten Dimensionen des Femurschlittens 10 ist die maximale anterior-posteriore bzw. dorsal-ventrale Erstreckung der Kondylenschalen 11, 12, die in Fig. 1 mit a bezeichnet ist.

25

Eine weitere relevante Dimension ist die maximale laterale Erstreckung des Femurschlittens, d. h. der Abstand zwischen dem lateralsten Punkt der lateralen Kondylenschale 11 und dem am weitesten medial gelegenen Punkt der medialen Kondylenschale 12, der in Fig. 1 mit c bezeichnet ist. Weiterhin von Bedeutung ist der Abstand zwischen dem äußersten posterioren Punkt der dorsalen Gleitflächen 11a, 12a der Kondylenschalen 11, 12 bis zur posterioren Begrenzungskante des Patellaschildes 13, der in Fig. 1 mit b bezeichnet ist. Schließlich ist bedeutsam der Abstand zwischen den äußersten posterioren Punkten der dorsalen

30

Gleitflächen 11a, 12a und der Längsachse der (in ein und derselben Coronalebene liegenden) Zapfen 18, 19, der in Fig. 2 mit d bezeichnet ist. Beim beschriebenen Ausführungsbeispiel beträgt das Verhältnis $a:c$ 0,9 und das Verhältnis $b:a$ 0,44. Aus biomechanischen und operationstechnischen Gründen hat es sich als sinnvoll erwiesen, die Größe d (Gleitflächen-Zapfen-Abstand) für alle Femurschlittengrößen eines Knie-Endoprothesensystems auf einen einheitlichen Wert einzustellen. Im vorliegenden Fall beträgt dieser 29 mm.

Zur Bestimmung der korrekten Femurschlittengröße dient eine in Fig. 3 und 4 gezeigte Femurgrößenlehre 20. Diese umfaßt ein Grundteil 21, das zwei Flanken 22 und 23 mit jeweils einem rechtwinklig abgewinkelten Anlageabschnitt 22a, 23a zur Anlage an die Kondylen eines mit einem Femurschlitten (Fig. 1 und 2) zu versehenen Oberschenkelknochens aufweist.

Im Grundteil 21 ist mittig eine zweifach abgewinkelte Meßzunge 24 in zur Erstreckungsebene der Anlageabschnitte 22a, 23a senkrechter Richtung verschieblich geführt. Die Meßzunge 24 trägt eine Skaleneinteilung 25, die die maximale anterior-posteriore Erstreckung des Femurkopfes, d. h. der Kondylen, und damit dem Arzt die benötigte Implantatgröße angibt. Im Grundteil 21 der Femurgrößenlehre 20 sind zwei Zapfenloch-Bohrungen 26, 27 vorgesehen, die - gemäß einer Bohrlehren-Zusatzfunktion der Femurgrößenlehre - zur Positionierung von Zapfenlöchern entsprechend den Zapfen 18, 19 des Femurschlittens 10 nach Fig. 1 im Femur dienen. Die Achsen der Zapfenloch-Bohrungen 26, 27 haben einen Abstand e zu den Anlageflächen der Anlageabschnitte 22a, 23a. Dieser Abstand stellt - neben dem Gleitflächen-Zapfen-Abstand d beim Femurschlitten 10 selbst (vgl. Fig. 2) - aus dem folgenden Grund eine zusätzliche relevante Dimension bei der konkreten Realisierung einer Knie-Endoprothese dar:

Um die erwähnten Zapfenlöcher, die im übrigen neben der Positionierung des Implantats auch zur Positionierung der Schnittlehren zur Erzeugung der verschiedenen Sägeschnitte am Femur dienen, in den Knochen zu bohren, werden in die Zapfenloch-

5 Bohrungen 26, 27 Bohrbüchsen (nicht dargestellt) gesteckt.

Es hat sich - insbesondere unter dem Blickwinkel einer verringerten Beanspruchung der Seitenbänder bei einer Flexion des künstlichen Kniegelenkes - als vorteilhaft herausgestellt, dorsal am Femur mehr Knochen zu resezieren, als dort durch die

10 Dicke der dorsalen Abschnitte der Kondylenschalen wieder aufgebaut wird. Aus diesem Grund wird der Abstand e kleiner gewählt, als der korrespondierende Abstand d (Fig. 2). In der bevorzugten Ausführungsform liegt die relative Abstandsverringering, d.

15 h. die Größe $(d - e)/d$, bei etwa 10 %.

Der erreichte Effekt ist in der skizzenhaften Gegenüberstellung der herkömmlichen Art der Anbringung eines Femurschlittens 10' an einem Femur F' in Fig. 5a mit einer Ausführung der hier vorgeschlagenen Anordnung in Fig. 5b zu erkennen. Die anterior-

20 posteriore Erstreckung des Femurschlittens 10 in Fig. 5b an einem im dorsalen Bereich weiter resezierten Femur F ist um den Betrag $(d - e)$ kleiner als beim herkömmlichen Implantat 10'.

Da der Abstand e an der Femurgrößenlehre, die ja für alle Implantatgrößen gleichermaßen eingesetzt wird, fest vorgegeben ist und nach obigem auch bei der Ausführung des Femurschlittens der Abstand d bevorzugt für alle Implantatgrößen konstant gehalten wird, ergeben sich für die verschiedenen Implantatgrößen

25 geringfügig unterschiedliche geometrische Verhältnisse. Dies ist aber mit Blick auf die herstellungs- und handhabungs-technischen Vorteile eines solchen Systems akzeptabel.

30

- 9 -

Fig. 6b zeigt - in Gegenüberstellung zu einer herkömmlichen Fe-
murschlitten-Beschichtung in Fig. 6a - in einer rasterelektro-
nenmikroskopischen Querschnittsdarstellung einen zweikomponen-
tigen Titan-Beschichtungsaufbau aus einer etwa 50µm starken,
5 dichten Grundsicht G und einer im Mittel annähernd 250µm
dicken, offen-porösen Deckschicht D auf einem CoCrMo-Substrat
S. Die Dicke und mittlere Rauheit der durch Vakuumplasmabe-
schichtung erzeugten Beschichtung gemäß Fig. 6b ist zwar ver-
gleichbar mit der bekannten, gespritzten Beschichtung nach Fig.
10 6a, hervorzuheben ist dieser gegenüber jedoch die offen-poröse
Struktur und die wesentlich verringerte Anzahl von (in beiden
Figuren durch vertikale Pfeile gekennzeichneten) Grenzflächen-
defekten.

15 Die Ausführung der Erfindung ist nicht auf das oben beschrie-
bene Ausführungsbeispiel beschränkt, sondern auch in Abwand-
lungen möglich, die insbesondere Abweichungen von den konkreten
Maß- und Verhältniswertangaben einschließen.

20

B e z u g s z e i c h e n l i s t e

5	10, 10'	Femurschlitten
	11, 12	Kondylenschalen
	11a, 12a	dorsale Gleitflächen
	13	Patellaskild
	14	anteriore Paßfläche
10	15	posteriore Paßfläche
	16	Patellagrube
	17	Patellakomponente
	18, 19	Zapfen
	20	Femurgrößenlehre
15	21	Grundteil
	22, 23	Flanken
	22a, 23a	Anlageabschnitte
	24	Meßzunge
	25	Skaleneinteilung
20	26, 27	Zapfenloch-Bohrungen
	a, b, c, d, e	Abstände
	A-A	Schnittebene
	D	Deckschicht
5	F, F'	Femur (bearbeitet)
	G	Grundschrift
	S	Substrat

MEISSNER, BOLTE & PARTNER

Anwaltssozietät GbR

Postfach 860624

81633 München

Anmelderin

PLUS Endoprothetik AG

Erlenstraße 4 b

CH-6343 Rotkreuz

2. März 1999

M/PLU-102-DE

MB/PO/HZ/ir

Femurschlitten

A n s p r ü c h e

1. Femurschlitten (10), mit zwei konvex gewölbten Kondylen-
schalen (11, 12), die anterior durch ein Patellaschild (13)
5 starr miteinander verbunden sind, wobei die Kondylen-
schalen außenseitig dorsale Femurschlitten-Gleitflächen
(11a, 12a) definieren,
d a d u r c h g e k e n n z e i c h n e t,
daß die Gesamterstreckung des Femurschlittens in anterior-
10 posteriorer Richtung kleiner als die entsprechende ur-
sprüngliche Gesamterstreckung der Kondylen eines Femurs (F)
ist, an den der Femurschlitten angepaßt ist.
2. Femurschlitten nach Anspruch 1,
d a d u r c h g e k e n n z e i c h n e t,
daß die Gesamterstreckung des Femurschlittens um 2-5 %
kleiner ist als die Gesamterstreckung der Kondylen.
3. Femurschlitten nach Anspruch 1 oder 2,
20 d a d u r c h g e k e n n z e i c h n e t,
daß der Femurschlitten (10) innenseitig zwei Zapfen (18,
19) trägt und zwischen den Längsachsen der Zapfen und den
von diesen am weitesten entfernten Punkten der dorsalen
Gleitflächen (11a, 12a) ein Gleitflächen-Zapfen-Abstand (d)
25 definiert ist,

- 2 -

d a d u r c h g e k e n n z e i c h n e t,
daß der Gleitflächen-Zapfen-Abstand im Bereich zwischen
24 und 34 mm liegt, insbesondere 29 mm beträgt.

- 5 4. Femurschlitten nach einem der vorangehenden Ansprüche,
d a d u r c h g e k e n n z e i c h n e t,
daß das Verhältnis (a:c) der maximalen anterior-posterioren
Erstreckung (a) zur maximalen lateralen Erstreckung (c) des
Femurschlittens (10) im wesentlichen 0,9 beträgt.

10

5. Femurschlitten nach einem der vorangehenden Ansprüche,
g e k e n n z e i c h n e t d u r c h
daß eine zwischen den Kondylenschalen (11, 12) ausgebilde-
tete Patellagrube (16), bezogen auf den entferntesten dor-
15 salen Punkt der Kondylenschalen, eine Tiefe (b) hat, deren
Verhältnis (b:a) zur maximalen anterioren-posterioren Er-
streckung des Femurschlittens (10) im Bereich zwischen 0,4
und 0,49 liegt, insbesondere 0,44 beträgt.

20

6. Femurschlitten nach einem der vorangehenden Ansprüche,
d a d u r c h g e k e n n z e i c h n e t,
daß innenseitig eine durch Plasmavakuumbeschichtung gebil-
dete zweikomponentige Beschichtung (G, D) aus einer dünne-
ren, dichten Grundschicht (G) und einer dickeren, offen-
25 porösen Deckschicht (D) im wesentlichen aus Titan vorgese-
hen ist.

30

7. Knie-Endoprothesensystem mit einer Mehrzahl von Femur-
schlitten (10) unterschiedlicher Größe nach einem der
vorangehenden Ansprüche,
d a d u r c h g e k e n n z e i c h n e t,
daß der Betrag des Gleitflächen-Zapfen-Abstandes (d) für
alle Femurschlitten des Knie-Endoprothesensystems gleich
ist.

- 3 -

8. Femurschlitten-/Femurgrößenlehren-Anordnung, umfassend mindestens einen Femurschlitten (10) nach einem der Ansprüche 3-6 und eine Femurgrößenlehre (20), welche ein Grundteil (21) mit ebenen Anlageabschnitten (22a, 23a) zur Anlage an die dorsalen Kondylenflächen eines Femurs (F) und einer rechtswinklig auf diesen Anlageflächen stehende Bohrlehrenfläche hat, die zwei Zapfenloch-Bohrungen (26, 27) zur Festlegung von Bohrungen im Femur zur Aufnahme der Zapfen (18, 19) des Femurschlittens (10) trägt, wobei zwischen den Mittelpunkten der in einer Coronalebene liegenden Zapfenloch-Bohrungen und der Kondylenanlagefläche der Anlageabschnitte (22a, 23a) ein Bohrungs-Gleitflächen-Abstand (e) definiert ist, der kleiner als der Gleitflächen-Zapfen-Abstand (d) am Femurschlitten ist.

9. Femurschlitten-/Femurgrößenlehren-Anordnung nach Anspruch 8, dadurch gekennzeichnet, daß der Bohrungs-Gleitflächen-Abstand (e) um 5-15 %, insbesondere um 10 %, kleiner als der Gleitflächen-Zapfen-Abstand (d) ist.

1/4

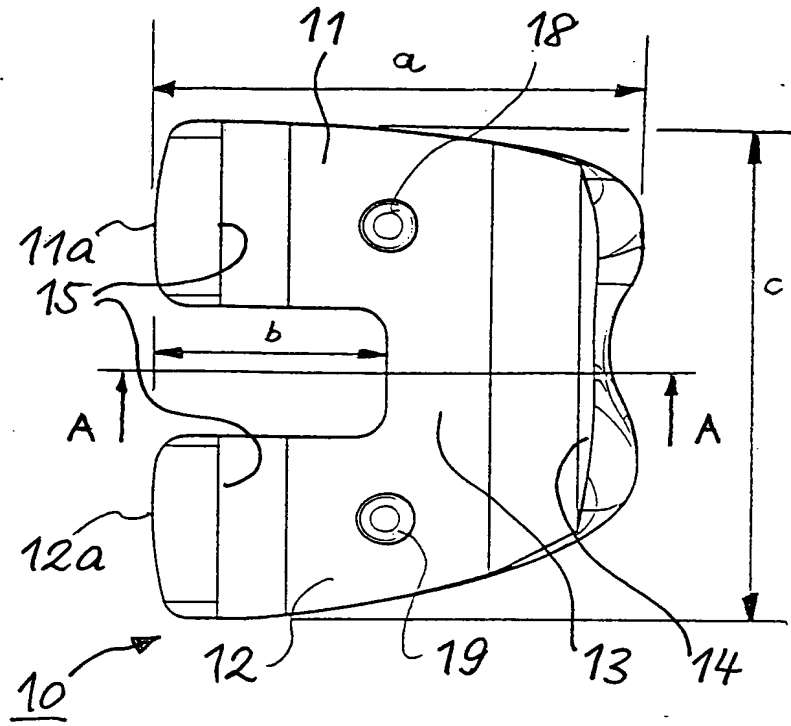


Fig. 1

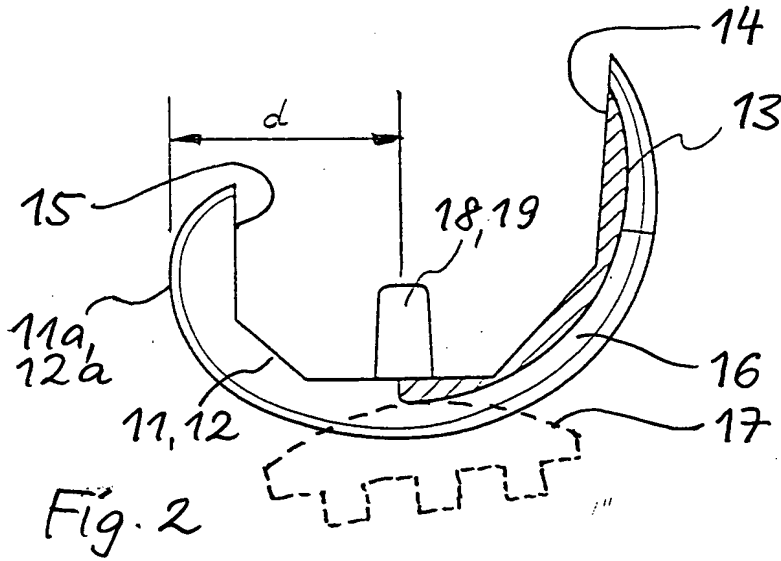


Fig. 2

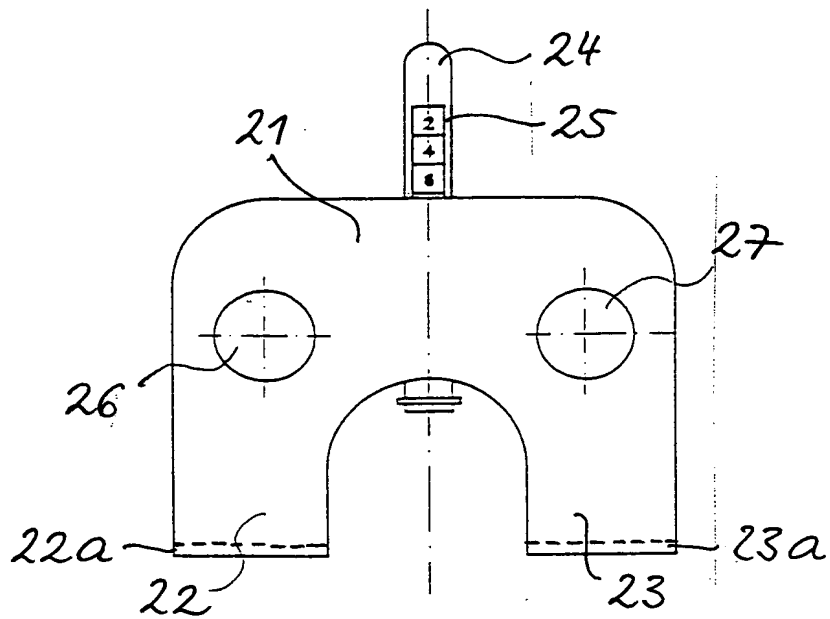


Fig. 3

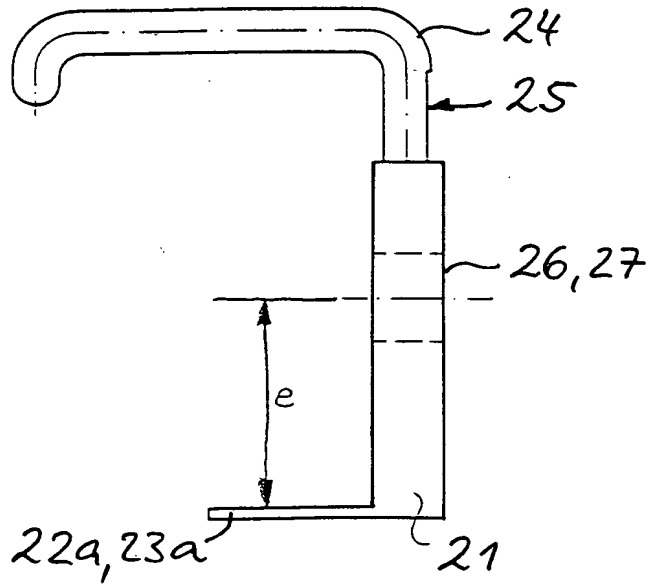


Fig. 4

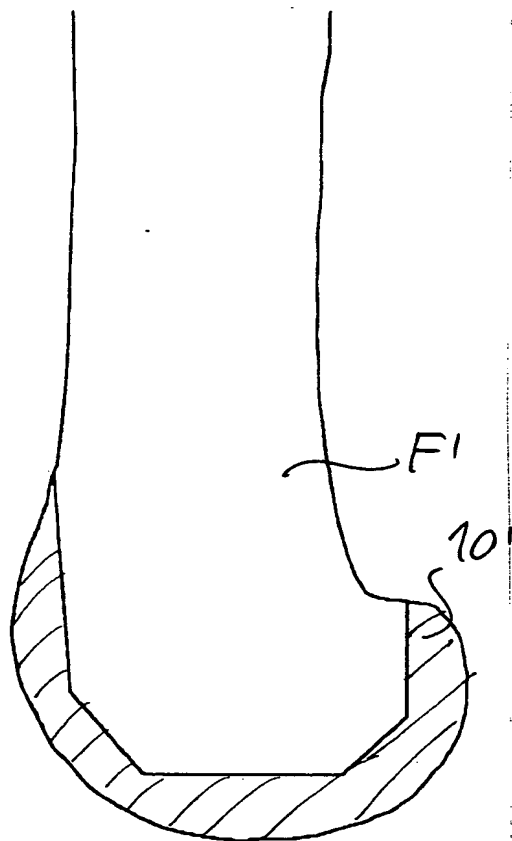


Fig. 5a

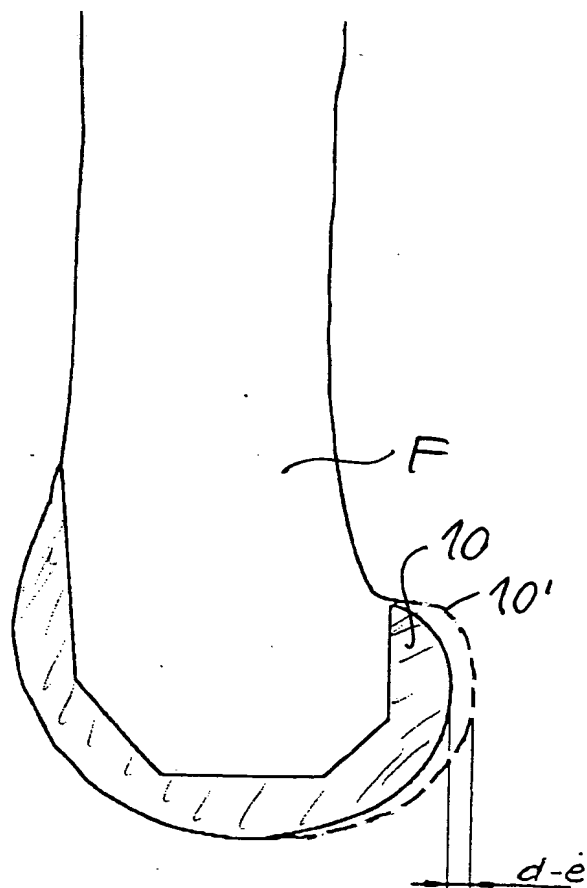


Fig. 5b

4 / 4

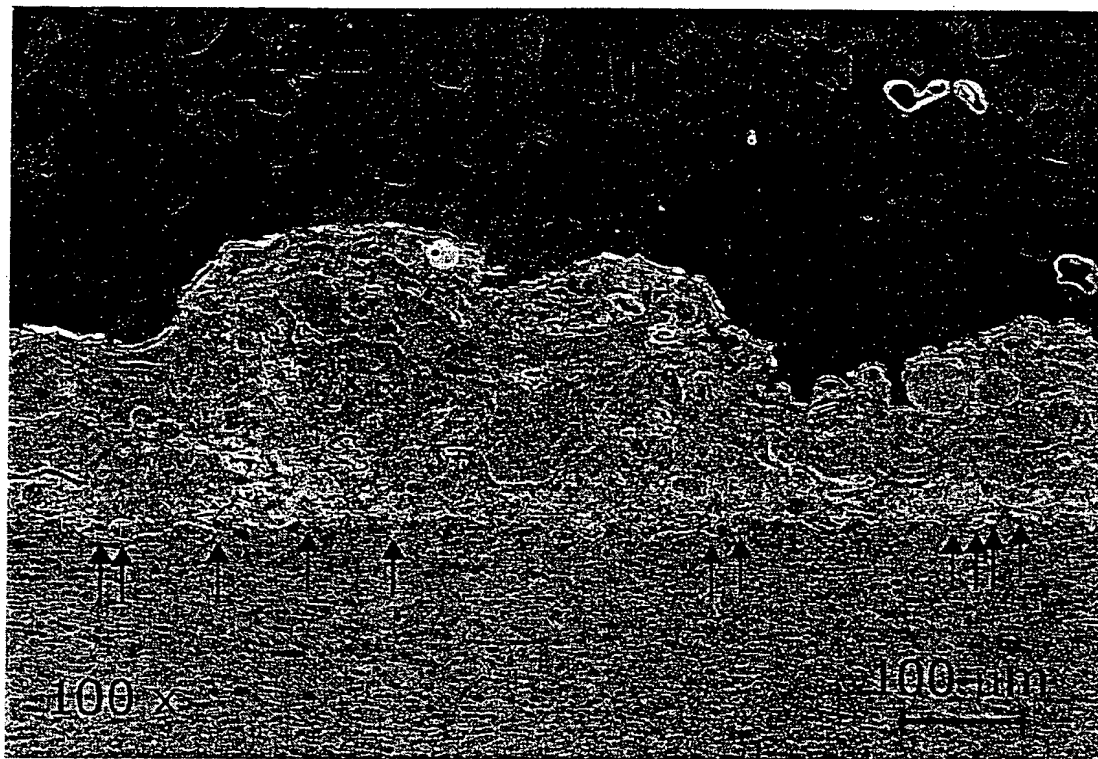


Fig. 6a

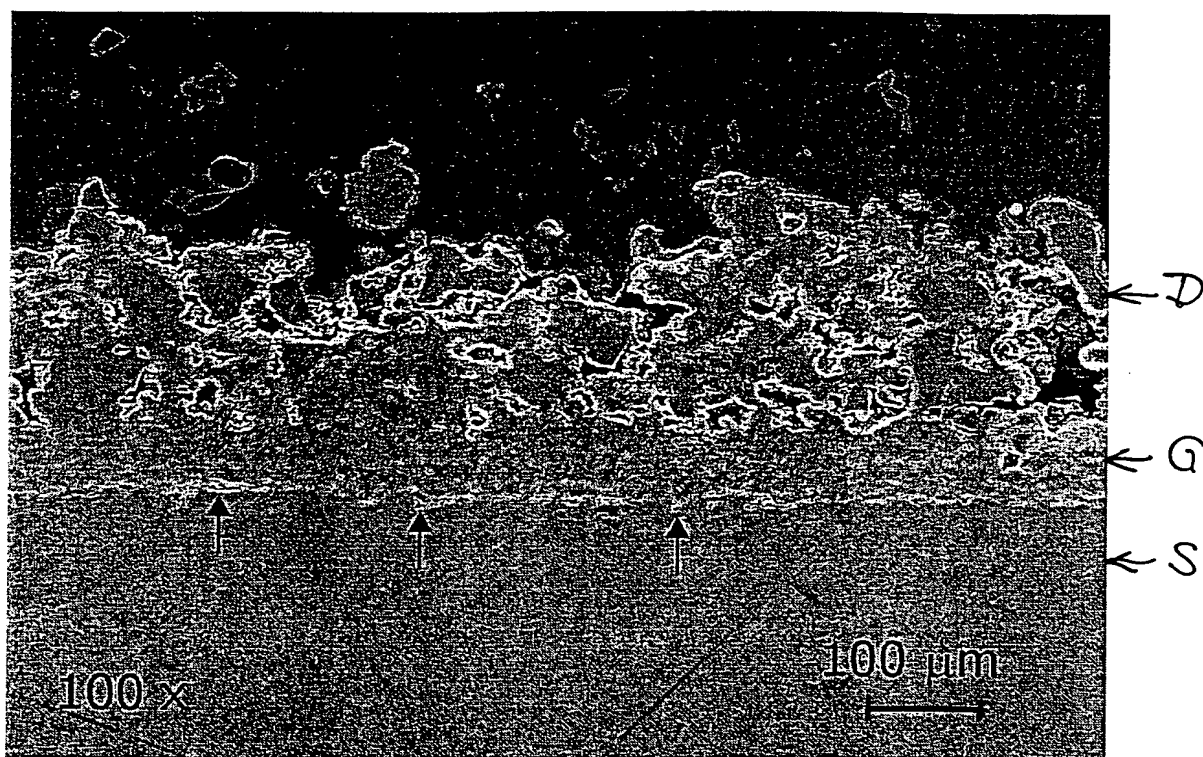


Fig. 6b